

دانشگاه کاشان
پژوهشکده علوم و فناوری نانو

پایان نامه
جهت اخذ درجه کارشناسی ارشد
در رشته علوم و فناوری نانو
گرایش نانوشیمی

عنوان:

تهییه و شناسایی نانوساختارهای کرومات و دی کرومات و تیوسیانات نقره
به روش اولتراسونیک

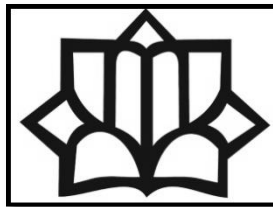
استاد راهنما:

پروفسور مسعود صلواتی نیاسری

به وسیله‌ی:

فائزه صوفیوند

تابستان ۱۳۹۱



**University of Kashan
The Institute of Nanoscience and Nanotechnology**

Thesis
For Degree of Master of Science (MSc)
In Nanoscience and Nanotechnology
(nanochemistry)

Title:

**Synthesis of Nanostructures Choromate and Dichoromate
and Thiocyanate, Silver via Ultrasonic Method**

Supervisor:

Prof. Masoud Salavati - Niasari

By:

Faezeh Soofivand

Summer 2012

یا هو

الهی مرآمد کن تادانش اندکم نه زردبافی باشد برای فزوئی تکبر و غرور، نه حلقة ای برای اسارت و
نه دست مایه ای برای تجارت، بلکه گامی باشد برای تحلیل از تو و متعالی ساختن زندگی خود و
دیگران.

خدای را بسی شاکرم که از روی کرم، پدر و مادری فداکار نصیم ساخته تاد سایه درخت پر بار وجودشان
بی سایم و از ریشه آنها شاخ و برگ کیرم و از سایه وجودشان در راه کسب علم و دانش تلاش نمایم. والدینی
که بودشان تاج افتخاری است بر سرم و ناشان دلیلی است بر بودنم؛ چرا که این دو وجود پس از
پروردگار مایه هستی ام بوده اند، دستم را کر فتند و راه رفتن را در این وادی زندگی پر از فرازو نشیب به من
آموختند.

نهال را باران باید

تا بشوید غبار نشسته بر گهایش، و سیرا بش کند از آب حیات

و آفتاب باید

تا تاباند نسیرو را، و محکم کند، شاخه های تازه رویده را

به نام مادر

بوسه ای باید زد، دست هایی را

که می شوند غبار حنگی روزگار را

وسیرا ب می کنند روح تشه را

به نام پدر

بوسه ای باید زد، دست هایی را

که می تابانند نسیرو را

و محکم می کنند استواری پایه های زیستن را....

تقدیم به پدر و مادر ناز نیشم به پاس تمامی زحمات بی دریغشان

مشکر و قدردانی

حال که توفیق جمع آوری و تهیه این مجموعه را یافته ام بر خود واجب می دانم از تمامی عزیزانی که در طی انجام این پژوهش از راهنمایی و یاری شان برهمند گشته ام مشکر و قدردانی کنم و برای ایشان از درگاه پروردگار هرمان آرزوی سعادت و پیروزی نمایم.

در ابتدا، صمیمانه ترین تقدیرها تقدیم به خانواده عزیزو هرمانم که همواره حامی و مشوقم بوده اند و یمودن روزهای سخت و آسان زندگی ام بدون دعاخواهی خیر، و برکت وجودشان غیرممکن بود.

از استاد راهنمای بزرگوارم جناب آقای پروفور مسعود صلواتی- نیاسری که با سه صدر و صبوری مرارا هنمایی نموده و با ارائه نظرات سازنده و رسموده‌ای بی‌دینشان در پیشبرد این پایان نامه سعی تمام مبذول داشته‌اند، کمال مشکر را دارم. از سرکار خانم فاطمه همندی که در طول این تحقیق بار ننموده‌ای و تشویق‌های خود را مورد لطف خویش قراردادند، صمیمانه پاسکنذارم.

از داوران محترم جناب آقای دکترا حمید اکبری و جناب آقای دکتر مسعود همدانیان که زحمت بازخوانی و داوری این مجموعه را به عهده داشته‌اند، صمیمانه مشکر و قدردانی می نمایم.

و در نهایت از تمامی دوستان و هم کلاسیمای عزیزم که در طول این مدت افتخاراتشانی و مصاحبت با آنها را داشتم، به پاس محبت‌های بی‌دینشان پاسکنذارم.

چکیده

در پژوهی حاضر میکرو/نانوساختارهای نقره کرومات، نقره دی کرومات و نقره تیوسیانات با استفاده از روش اولتراسونیک تهیه شدند. علاوه بر روش اولتراسوند، روش همروسوبی برای تهیه نقره کرومات و نقره دی کرومات به کار رفت. در روش همروسوبی تنها، اثر پارامترهای نوع پیش ماده و غلظت سورفکتانت و در روش اولتراسونیک علاوه بر این پارامترها، اثر پارامترهای دیگر از قبیل: زمان، نوع سورفکتانت و تابش امواج مافوق صوت بر روی اندازه و مورفولوژی ساختارهای بدست آمده بررسی شد. نانوذرات تهیه شده با روش‌های مختلفی مانند XRD، SEM، EDX، XPS، FT-IR و PL مورد آنالیز و بررسی قرار گرفتند. با استفاده از نتایج این بررسی‌ها مشخص شد که تغییر منبع نفره در سنتز ساختارهای نقره کرومات و نقره دی کرومات، در هر دو روش اولتراسونیک و همروسوبی در به دست آوردن محصولاتی با مورفولوژی خاص موثر است و همچنین غلظت، نوع و وزن مولکولی سورفکتانت مصرفی تاثیر قابل توجهی روی مورفولوژی ساختارهای حاصله دارد. این نتایج نشان می‌دهد که با افزایش زمان سونیکاسیون، اندازه ذرات بزرگتر می‌شود. نتایج حاصله از سنتز ساختارهای نقره تیوسیانات نشان می‌دهد که با افزایش زمان سونیکاسیون، اندازه ذرات افزایش می‌یابد. در مورد اثر سورفکتانتها مشاهده شده که بسته به نوع سورفکتانت، غلظت آنها و وزن مولکولی سورفکتانت پلیمری نتایج متفاوتی پدید می‌آید. همچنین تغییر حلال بر روی شکل و اندازه محصول بسیار تاثیرگذار است. علاوه بر این، نتایج آنالیز PL ساختارهای نقره تیوسیانات نشان داد که با کاهش اندازه ذره باندگپ محصولات افزایش می‌یابد.

کلمات کلیدی: نقره سالیسیلات، نقره کرومات، نقره دی کرومات، نقره تیوسیانات، باندگپ.

فهرست موضوعی

| صفحه | عنوان |
|------|---|
| | فصل اول: مقدمه |
| ۱ | ۱-۱. شیمی و فناوری نانو |
| ۵ | ۲-۱. رابطه بین اندازه و فعالیت شیمیایی |
| ۹ | ۳-۱. روش‌های ساخت نانومواد |
| ۱۳ | ۴-۱. سونوژیمی |
| ۱۵ | ۴-۲. تاریخچه فرآصوت |
| ۱۶ | ۴-۳. پیشینه سنتز با فرآصوت |
| ۱۷ | ۴-۴. روش سونوژیمی در تهیه نانوذرات |
| ۱۷ | ۴-۵. منشا اثرات سونوژیمیایی |
| ۱۹ | ۴-۶. عوامل موثر بر فرآیندهای سونوژیمی |
| ۲۱ | ۴-۷. مزایا و معایب فرآیند سونوژیمی |
| ۲۱ | ۵-۱. همرسوبی |
| ۲۲ | ۵-۲. تئوری و ترمودینامیک روش همرسوبی |
| ۲۵ | ۶-۱. روش‌های پایدار سازی نانومواد |
| ۲۵ | ۶-۲. پایداری الکتروستاتیکی |
| ۲۵ | ۶-۳. پایداری فضایی |
| ۲۶ | ۶-۴. پایداری توسط حلال |
| ۲۸ | ۷-۱. نقره کرومات، کاربرد و پیشینه‌ی سنتز |
| ۳۵ | ۸-۱. نقره تیوسیانات، کاربرد و پیشینه‌ی سنتز |
| ۳۷ | ۹-۱. نقره دی کرومات، کاربرد و پیشینه‌ی سنتز |

| | |
|----|---|
| ۳۸ | فصل دوم: بخش تجربی |
| ۳۹ | ۱-۲. مواد، وسایل و دستگاههای مورد استفاده |
| ۳۹ | ۱-۱-۲. مواد شیمیایی |
| ۴۰ | ۱-۱-۲. وسایل آزمایشگاهی |
| ۴۰ | ۱-۲-۳. دستگاههای مورد استفاده |
| ۴۱ | ۲-۲. روش انجام آزمایش |
| ۴۱ | ۲-۲-۱. تهیه پیش ماده [Ag(Hsal)] |
| ۴۲ | ۲-۲-۲. تهیه میکرو/نانوساختارهای $\text{Ag}_2\text{Cr}_2\text{O}_7$ و Ag_2CrO_4 از مسیر همرسوبی |
| ۴۴ | ۲-۲-۲-۱. بررسی اثر منبع نقره |
| ۴۴ | ۲-۲-۲-۲. بررسی اثر سورفکتانت |
| ۴۵ | ۲-۲-۳. تهیه میکرو/نانوساختارهای $\text{Ag}_2\text{Cr}_2\text{O}_7$ و Ag_2CrO_4 از مسیر تابش امواج مافوق صوت |
| ۴۶ | ۲-۳-۲-۱. بررسی اثر سورفکتانت |
| ۴۷ | ۲-۳-۲-۲. بررسی اثر زمان |
| ۴۷ | ۲-۳-۲-۳. بررسی اثر تابش امواج مافوق صوت |
| ۴۹ | ۲-۴-۲-۱. تهیه نانو ساختارهای AgSCN از مسیر تابش امواج مافوق صوت با استفاده از پیش ماده نقره نیترات |
| ۵۰ | ۲-۴-۲-۲. بررسی اثر سورفکتانت |
| ۵۰ | ۲-۴-۲-۳. بررسی اثر زمان |
| ۵۰ | ۲-۴-۲-۴. بررسی اثر تابش امواج مافوق صوت |
| ۵۱ | ۲-۴-۲-۵. بررسی اثر وزن مولکولی سورفکتانت |
| ۵۱ | ۲-۴-۲-۶. بررسی اثر حلال |
| ۵۳ | ۲-۵-۲-۱. تهیه نانو ساختارهای AgSCN از مسیر تابش امواج مافوق صوت با استفاده از پیش ماده نقره سالیسیلات |
| ۵۴ | ۲-۵-۲-۲. بررسی اثر سورفکتانت |

| | |
|----|--|
| ۵۴ | ۲-۵-۲-۲. بررسی اثر زمان..... |
| ۵۵ | ۳-۵-۲-۲. بررسی اثر زمان در حضور سورفکتانت..... |
| ۵۵ | ۴-۵-۲-۲. بررسی اثر تابش امواج مافوق صوت..... |
| ۵۷ | ۳-۲. آماده سازی نمونه جهت شناسایی و آنالیز..... |
| ۵۷ | ۱-۳-۲. آماده سازی نمونه برای گرفتن تصویر XRD..... |
| ۵۷ | ۲-۳-۲. آماده سازی نمونه برای گرفتن تصویر SEM..... |
| ۵۷ | ۳-۳-۲. آماده سازی نمونه برای بررسی خواص نوری..... |
| ۵۸ | فصل سوم: بحث و نتیجه گیری..... |
| ۵۹ | ۱-۳. مقدمه..... |
| ۶۰ | ۲-۳. پیش ماده نقره سالیسیلات..... |
| ۶۰ | ۱-۲-۳. تهیه پیش ماده نقره سالیسیلات..... |
| ۶۰ | ۲-۲-۳. روش های شناسایی پیش ماده نقره سالیسیلات..... |
| ۶۰ | ۱-۲-۲-۳. نتایج TGA..... |
| ۶۱ | ۲-۲-۲-۳. نتایج NMR..... |
| ۶۲ | ۳-۲-۲-۳. طیف سنجی FT-IR..... |
| ۶۶ | ۳-۳. میکرو/انانوساختارهای $\text{Ag}_2\text{Cr}_2\text{O}_7$ و Ag_2CrO_4 تهیه شده به روش همرسوی..... |
| ۶۶ | ۱-۳-۳. مکانیسم پیشنهاد شده..... |
| ۶۶ | ۲-۳-۳. بررسی آنالیز فاز به روش پراش اشعه ایکس..... |
| ۶۷ | ۳-۳-۳. آنالیز EDAX..... |
| ۶۷ | ۴-۳-۳. طیف سنجی FT-IR..... |
| ۷۲ | ۵-۳-۳. بررسی نتایج SEM..... |
| ۷۲ | ۱-۵-۳-۳. نقش پیش ماده..... |
| ۷۲ | ۲-۵-۳-۳. نقش مقدار SDS مصرفی..... |

| | |
|---|-----|
| ۴-۳. میکرو/ نانوساختارهای Ag_2CrO_4 و $\text{Ag}_2\text{Cr}_2\text{O}_7$ تهیه شده به روش سونوشیمیایی..... | ۸۳ |
| ۱-۴-۳. مکانیسم پیشنهاد شده..... | ۸۳ |
| ۲-۴-۳. بررسی آنالیز فاز به روش پراش اشعه ایکس..... | ۸۳ |
| ۳-۴-۳. نتایج EDAX..... | ۸۵ |
| ۴-۴-۳. طیف سنجی FT-IR..... | ۸۷ |
| ۵-۴-۳. بررسی نتایج SEM..... | ۸۸ |
| ۱-۵-۴-۳. نقش مدت زمان سونیکاکسیون | ۸۸ |
| ۲-۵-۴-۳. نقش نوع و مقدار سورفکتانت مصرفی | ۱۰۱ |
| ۶-۴-۳. طیف فوتولومینسانس | ۱۰۹ |
| ۷-۴-۳. بررسی طیف XPS نقره دی کرومات | ۱۱۰ |
| ۸-۴-۳. بررسی فعالیت فتوکاتالیستی نقره کرومات | ۱۱۲ |
| ۹-۴-۳. نتیجه گیری | ۱۱۳ |
| ۵-۴-۳. میکرو/ نانوساختارهای AgSCN با پیش ماده نقره نیترات..... | ۱۱۴ |
| ۱-۵-۳. مکانیسم پیشنهاد شده..... | ۱۱۴ |
| ۱-۵-۳. مکانیسم احتمالی رشد ذرات به روش سونوشیمیایی..... | ۱۱۴ |
| ۱-۵-۳. مکانیسم احتمالی رشد ذرات به روش سونوشیمیایی در حضور حللهای آلی | ۱۱۵ |
| ۱-۵-۳. مکانیسم احتمالی رشد ذرات به روش سونوشیمیایی در حضور سورفکتانتها..... | ۱۱۷ |
| ۲-۵-۳. بررسی آنالیز فاز به روش پراش اشعه ایکس..... | ۱۱۸ |
| ۳-۵-۳. نتایج EDAX..... | ۱۲۱ |
| ۴-۵-۳. طیف سنجی FT-IR | ۱۲۲ |
| ۵-۵-۳. بررسی نتایج SEM | ۱۲۴ |
| ۱-۵-۵-۳. نقش مدت زمان سونیکاکسیون | ۱۲۴ |
| ۲-۵-۵-۳. نقش نوع و مقدار سورفکتانت مصرفی | ۱۲۵ |

| | | |
|-----|---|-------|
| ۱۳۶ | ۳. نقش جرم مولکولی PVP مصرفی به عنوان سورفکtant..... | ۵-۵-۳ |
| ۱۳۷ | ۴. نقش حلال‌های آلی..... | ۵-۵-۳ |
| ۱۳۹ | ۵. نقش تابش امواج مافوق صوت..... | ۵-۵-۳ |
| ۱۴۷ | ۶. طیف فوتولومینسانس و نقش مورفولوژی روی آن..... | ۵-۵-۳ |
| ۱۴۷ | ۷. نتیجه‌گیری..... | ۵-۵-۳ |
| ۱۴۹ | ۶. میکرو/ نانوساختارهای AgSCN با پیش ماده نقره سالیسیلات..... | ۳-۳ |
| ۱۴۹ | ۱. مکانیسم احتمالی تشکیل AgSCN..... | ۳-۶ |
| ۱۴۹ | ۲. بررسی آنالیز فاز به روش پراش اشعه‌ی ایکس..... | ۳-۶ |
| ۱۴۹ | ۳. نتایج EDAX..... | ۳-۶ |
| ۱۵۰ | ۴. طیف سنجی FT-IR..... | ۳-۶ |
| ۱۵۲ | ۵. بررسی نتایج SEM..... | ۳-۶ |
| ۱۵۲ | ۱. نقش مدت زمان سونیکاسیون..... | ۳-۶-۵ |
| ۱۵۳ | ۲. نقش نوع و مقدار سورفکtant مصرفی..... | ۳-۶-۵ |
| ۱۶۲ | ۳. نقش مدت زمان سونیکاسیون در حضور سورفکtant..... | ۳-۶-۵ |
| ۱۶۲ | ۴. نقش مقدار PVP..... | ۳-۶-۵ |
| ۱۶۳ | ۵. نقش تابش امواج مافوق صوت..... | ۳-۶-۵ |
| ۱۷۲ | ۵. نتیجه‌گیری..... | ۳-۶-۶ |
| ۱۷۴ | منابع و مأخذ | |

فهرست شکل‌ها

| | |
|--|----|
| شکل ۱-۱. طرح شماتیکی از هسته‌زایی و رشد ذرات به روش رسوبگذاری..... | ۲۵ |
| شکل ۱-۲- تصویر شماتیک دو نانوذره پایدارشده از طریق الکتروستاتیکی..... | ۲۶ |
| شکل ۱-۳. تصویر شماتیک پایداری فضایی با استفاده از پلیمر..... | ۲۶ |
| شکل ۱-۴- پایداری الکتروفضایی..... | ۲۷ |
| شکل ۱-۵- نانوساختارهای Ag_2CrO_4 تهیه شده با روش تخریب حرارتی..... | ۲۹ |
| شکل ۱-۶- تصویر SEM نقره کرومات سنتزی توسط نوینسکی..... | ۳۱ |
| شکل ۱-۷- تصاویر TEM محصول Ag_2CrO_4 بدست آمده توسط لیو..... | ۳۳ |
| شکل ۱-۸- تصویر سمت چپ: مدل گوی و میله و تصویر سمت راست: مدل پلی هدرون نقره کرومات..... | ۳۳ |
| شکل ۱-۹- تصاویر SEM مربوط به سوپرساختارهای نقره کرومات..... | ۳۴ |
| شکل ۱-۱۰- تصویر نقره کرومات بدست آمده از روش الکتروشیمیایی..... | ۳۵ |
| شکل ۱-۱۱- طیف جذب نوری نقره تیوسیانات جامد..... | ۳۶ |
| شکل ۱-۱۲- تصاویر TEM نانوکره‌های Ag_2CrO_4 | ۳۷ |
| شکل ۲-۱ نمای ساده‌ای از دستگاه مولد امواج فرماصوت استفاده شده در این پژوهش..... | ۴۰ |
| شکل ۲-۲- تصاویر مربوط به آنالیز (a) XRD (d) EDAX (c) FT-IR (b) SEM نمونه C4 نمونه..... | ۴۳ |
| شکل ۲-۳- تصاویر مربوط به آنالیز (a) XRD (d) EDAX (c) FT-IR (b) SEM نمونه D4 نمونه..... | ۴۳ |
| شکل ۲-۴- مکانیسم تهیه Ag_2CrO_4 یا $\text{Ag}_2\text{Cr}_2\text{O}_7$ با پیش ماده نقره سالیسیلات به روش همرسوبی..... | ۴۴ |
| شکل ۲-۵- تصاویر مربوط به آنالیز (a) XRD (d) EDAX (c) FT-IR (b) SEM نمونه A7 نمونه..... | ۴۶ |
| شکل ۲-۶- تصاویر مربوط به آنالیز (a) XRD (d) EDAX (c) FT-IR (b) SEM نمونه B6 نمونه..... | ۴۷ |
| شکل ۲-۷- تصاویر مربوط به آنالیز (a) XRD (d) EDAX (c) FT-IR (b) SEM نمونه S11 نمونه..... | ۴۹ |
| شکل ۲-۸- نحوه تاثیرپذیری مورفولوژی ساختارهای نقره تیوسیانات از نوع و وزن مولکولی سورفتانت..... | ۵۱ |
| شکل ۲-۹- تصاویر مربوط به آنالیز (a) XRD (d) EDAX (c) FT-IR (b) SEM نمونه S14 نمونه..... | ۵۴ |

| | |
|----|--|
| ۵۵ | شکل ۱۰-۲ - نحوه تاثیرپذیری مورفولوژی ساختارهای نقره تیوسیانات از نوع سورفکتانت |
| ۶۲ | شکل ۱-۳ - طیف (a) TGA و (b) DTA نقره سالیسیلات |
| ۶۳ | شکل ۲-۳ - طیف $^1\text{H-NMR}$ نقره سالیسیلات |
| ۶۴ | شکل ۳-۳ - طیف IR (a) سدیم سالیسیلات (b) نقره سالیسیلات |
| ۶۸ | شکل ۴-۳-a - الگوی XRD نمونه C4 |
| ۶۸ | شکل ۴-۳-b - الگوی XRD نمونه D4 |
| ۶۹ | شکل ۵-۳-a - طیف EDAX نمونه C4 |
| ۷۰ | شکل ۵-۳-b - طیف EDAX نمونه D4 |
| ۷۱ | شکل ۶-۳-a - طیف مادون قرمز نمونه C4 |
| ۷۱ | شکل ۶-۳-b - طیف مادون قرمز نمونه D4 |
| ۷۴ | شکل ۷-۳ - تصویر SEM نمونه (a) C1 |
| ۷۵ | شکل ۷-۳ - تصویر SEM نمونه (b) C2 |
| ۷۶ | شکل ۸-۳ - تصویر SEM نمونه (a) D1 |
| ۷۷ | شکل ۸-۳ - تصویر SEM نمونه (b) D2 |
| ۷۸ | شکل ۹-۳ - تصویر SEM نمونه (a) C3 |
| ۷۹ | شکل ۹-۳ - تصویر SEM نمونه (b) C4 |
| ۸۰ | شکل ۱۰-۳ - تصویر SEM نمونه (a) D3 |
| ۸۱ | شکل ۱۰-۳ - تصویر SEM نمونه (b) D4 |
| ۸۲ | شکل ۱۱-۳ - نمودار کاهش اندازه‌ی ذرات با افزایش مقدار سورفکتانت |
| ۸۴ | شکل ۱۲-۳ - الگوی XRD نمونه A7 |
| ۸۴ | شکل ۱۳-۳ - الگوی XRD نمونه B6 |
| ۸۵ | شکل ۱۴-۳ - طیف EDAX نمونه A7 |
| ۸۶ | شکل ۱۵-۳ - طیف EDAX نمونه B6 |

| | |
|----------|---|
| ۸۷..... | شکل ۳-۱۶- طیف مادون قرمز نمونه A7 |
| ۸۸..... | شکل ۳-۱۷- طیف مادون قرمز نمونه B6 |
| ۹۱..... | شکل ۳-۱۸-۱ تصاویر SEM نمونه A1(a) |
| ۹۲..... | شکل ۳-۱۸-۲ تصاویر SEM نمونه A2 (b) |
| ۹۳..... | شکل ۳-۱۸-۳ تصاویر SEM نمونه c A3 |
| ۹۴..... | شکل ۳-۱۸-۴ تصاویر SEM نمونه d A4 |
| ۹۵..... | شکل ۳-۱۸-۵ تصاویر SEM نمونه e A5 |
| ۹۶..... | شکل ۳-۱۹-۱ تصویر SEM نمونه a B1 |
| ۹۷..... | شکل ۳-۱۹-۲ تصویر SEM نمونه b B2 |
| ۹۸..... | شکل ۳-۱۹-۳ تصویر SEM نمونه c B3 |
| ۹۹..... | شکل ۳-۱۹-۴ تصویر SEM نمونه d B4 |
| ۱۰۰..... | شکل ۳-۱۹-۵ تصویر SEM نمونه e B5 |
| ۱۰۳..... | شکل ۳-۲۰-۱ تصاویر SEM مربوط به نمونه a A6 |
| ۱۰۴..... | شکل ۳-۲۰-۲ تصاویر SEM مربوط به نمونه b A7 |
| ۱۰۵..... | شکل ۳-۲۰-۳ تصاویر SEM مربوط به نمونه c A8 |
| ۱۰۶..... | شکل ۳-۲۰-۴ تصاویر SEM مربوط به نمونه d A9 |
| ۱۰۷..... | شکل ۳-۲۱-۱ تصاویر SEM نمونه a B6 |
| ۱۰۸..... | شکل ۳-۲۱-۲ تصاویر SEM نمونه b B7 |
| ۱۰۹..... | شکل ۳-۲۲-۱ طیف PL نمونه: a A9 و b A7 |
| ۱۱۰..... | شکل ۳-۲۳-۱ a) بررسی طیف XPS نمونه نقره دی کرومات سنتزی B6 |
| ۱۱۱..... | شکل ۳-۲۳-۲ b, عنصر اکسیژن |
| ۱۱۱..... | شکل ۳-۲۳-۳ c, عنصر کروم |
| ۱۱۲..... | شکل ۳-۲۳-۴ d, عنصر نقره |

| | |
|-----------|---|
| ۱۱۳ | شکل ۲۴-۳- بررسی خاصیت فتوکاتالیستی نقره کرمات در حضور نور (a) مرئی و (b) فرابنفش |
| ۱۱۹ | شکل ۲۵-۳- الگوی XRD نمونه (b) S2 |
| ۱۱۹ | شکل ۲۵-۳- الگوی XRD نمونه (b) S5 |
| ۱۲۰ | شکل ۲۵-۳- الگوی XRD نمونه (b) S7 |
| ۱۲۰ | شکل ۲۵-۳- الگوی XRD نمونه (b) S9 |
| ۱۲۱ | شکل ۲۶-۳- طیف EDAX نمونه S1 |
| ۱۲۲ | شکل ۲۷-۳- طیف مادون قرمز نمونه (a) S5 |
| ۱۲۳ | شکل ۲۷-۳- طیف مادون قرمز نمونه (b) S7 |
| ۱۲۴ | شکل ۲۷-۳- طیف مادون قرمز نمونه (c) S9 |
| ۱۲۷ | شکل ۲۸-۳- تصاویر SEM نمونه: (a) S1 (b) S2 (c) S3 |
| ۱۲۸ | شکل ۲۹-۳- تصاویر SEM نمونه (a) S4 |
| ۱۲۹ | شکل ۲۹-۳- تصاویر SEM نمونه (b) S5 |
| ۱۳۰ | شکل ۲۹-۳- تصاویر SEM نمونه (c) S6 |
| ۱۳۱ | شکل ۲۹-۳- تصاویر SEM نمونه (d) S7 |
| ۱۳۲ | شکل ۳۰-۳- تصاویر SEM نمونه (a) S8 |
| ۱۳۳ | شکل ۳۰-۳- تصاویر SEM نمونه (b) S9 |
| ۱۳۴ | شکل ۳۰-۳- تصاویر SEM نمونه (c) S10 |
| ۱۳۵ | شکل ۳۰-۳- تصاویر SEM نمونه (d) S11 |
| ۱۳۷ | شکل ۳۱-۳- تصویر SEM نمونه: (a) S12 و (b) S13 |
| ۱۳۹ | شکل ۳۲-۳- گراف اثر تغییرات زمان اولتراسوند، غلظت PVP-8000 و وزن مولکولی PVP روی اندازه ذرات |
| ۱۴۰ | شکل ۳۳-۳- تصاویر SEM نمونه (a) S14 |
| ۱۴۱ | شکل ۳۳-۳- تصاویر SEM نمونه (b) S15 |
| ۱۴۲ | شکل ۳۳-۳- تصاویر SEM نمونه (c) S16 |

| | |
|-----|---|
| ۱۴۳ | شکل ۳-۳-۳- تصاویر SEM نمونه (d) S17 |
| ۱۴۴ | شکل ۳-۳-۳- تصاویر SEM نمونه (e) S18 |
| ۱۴۵ | شکل ۳-۳-۳- تصاویر SEM نمونه (f) S19 |
| ۱۴۶ | شکل ۳-۴-۳- تصویر SEM نمونه S20 |
| ۱۴۸ | شکل ۳-۵-۳- طیف فوتولومینسانس نمونه: S20 (e) S5 (d) S7 (c) S9 (b) S1 (a) |
| ۱۵۰ | شکل ۳-۶-۳- پیک XRD نمونه T14 |
| ۱۵۱ | شکل ۳-۷-۳- طیف EDAX نمونه T14 |
| ۱۵۲ | شکل ۳-۸-۳- طیف مادون قرمز نمونه T14 |
| ۱۵۴ | شکل ۳-۹-۳- تصاویر SEM نمونه (a) T1 |
| ۱۵۵ | شکل ۳-۹-۳- تصاویر SEM نمونه (b) T2 |
| ۱۵۶ | شکل ۳-۹-۳- تصاویر SEM نمونه (c) T3 |
| ۱۵۷ | شکل ۳-۹-۳- تصاویر SEM نمونه (d) T4 |
| ۱۵۸ | شکل ۳-۴۰-۳- تصاویر SEM نمونه (a) T5 |
| ۱۵۹ | شکل ۳-۴۰-۳- تصاویر SEM نمونه (b) T6 |
| ۱۶۰ | شکل ۳-۴۰-۳- تصاویر SEM نمونه (c) T7 |
| ۱۶۱ | شکل ۳-۴۰-۳- تصاویر SEM نمونه (d) T8 |
| ۱۶۴ | شکل ۳-۴۱-۳- تصویر SEM نمونه (a) T9 |
| ۱۶۵ | شکل ۳-۴۱-۳- تصویر SEM نمونه (b) T10 |
| ۱۶۶ | شکل ۳-۴۱-۳- تصویر SEM نمونه (c) T11 |
| ۱۶۷ | شکل ۳-۴۲-۳- تصویر SEM نمونه (a) T12 |
| ۱۶۸ | شکل ۳-۴۲-۳- تصویر SEM نمونه (b) T13 |
| ۱۶۹ | شکل ۳-۴۲-۳- تصویر SEM نمونه (c) T14 |
| ۱۷۰ | شکل ۳-۴۲-۳- تصویر SEM نمونه (d) T15 |

شکل ۳-۴۳- تصویر SEM نمونه T16

فهرست جدول‌ها

| | |
|--|-----|
| جدول ۱-۱. مقایسه انواع روش‌های ساخت نانومواد..... | ۱۷۱ |
| جدول ۱-۲- انواع مواد شیمیایی مورد استفاده..... | ۳۹ |
| جدول ۲-۱- جزئیات تهیه نقره کرومات و نقره دی کرومات از مسیر رسوبگیری و حلال آب..... | ۴۵ |
| جدول ۲-۲- جزئیات تهیه نقره کرومات و نقره دی کرومات از مسیر سونوژیمی و حلال آب..... | ۴۸ |
| جدول ۲-۳- شرایط تهیه نانوذرات AgSCN با روش اولتراسونیک و منبع نقره‌ی نیترات..... | ۵۲ |
| جدول ۲-۴- شرایط تهیه نانوذرات AgSCN با روش اولتراسونیک، منبع نقره‌ی سالیسیلات و حلال آب..... | ۵۶ |
| جدول ۲-۵- فرکانس‌های مربوط به طیف مادون قرمز سالیسیلات..... | ۶۵ |

فصل اول

مقدمه



فصل اول:

مقدمه